

ИЗЛУЧЕНИЕ И ПОГЛОЩЕНИЕ НЕЙТРИНО НЕРЕЛЯТИВИСТСКИМИ НЕЙТРОНАМИ В МАГНИТНОМ ПОЛЕ

B. B. Скобелев*

*Московский государственный индустриальный университет
115280, Москва, Россия*

Поступила в редакцию 22 октября 2009 г.

С использованием найденной матрицы плотности нейтрона в магнитном поле рассчитана нейтринная светимость нерелятивистского невырожденного нейтронного газа в магнитном поле за счет переворота аномального магнитного момента, а также длина пробега нейтрино относительно поглощения в замагниченном нейтронном газе. Найдены энергия Ферми и парциальные концентрации вырожденного нейтронного газа в магнитном поле. Обсуждаются астрофизические приложения.

1. ВВЕДЕНИЕ

Светимость нейтронных звезд является преимущественно нейтринной. Основным механизмом потери энергии являются URCA-процессы (см., например, [1]), хотя существуют и другие, обусловленные, например, наличием магнитного поля [2]. Считается, что, помимо ядерных переходов, главный вклад при достаточно большой концентрации электронов и протонов [3] дают прямые URCA-процессы вида $p + e \rightarrow n + v_e$, $n \rightarrow p + e + \bar{v}_e$, которые в нерелятивистском случае впервые рассмотрены в работе [4], а в релятивистском — в работе [5]. Учет «слабого магнетизма» (т. е. вклада разности аномальных магнитных моментов (АММ) протона и нейтрона в матричный элемент слабого заряженного векторного тока) был проведен в работе [6], а учет взаимодействия сильным магнитным полем — в работе [7]. Другим эффективным механизмом остывания, когда подавлены прямые URCA-процессы, являются «модифицированные» URCA-процессы [3, 8], которые происходят аналогично прямым, но при участии дополнительного нуклона. В рассматриваемом в данной работе диапазоне плотностей и температур все эти механизмы дают вклады одного порядка. Поскольку нейтронные звезды состоят все-таки преимущественно из нейтронов, представляет интерес рассчитать их излучение вследствие переворота АММ нейтрона в магнитном поле звезды. Хотя АММ нейтрона $\mu = \sigma \mu_n$ ($\sigma = -1.9$, $\mu_n = e/2m_p$ — ядерный маг-

нетон) достаточно мал, наличие сверхсильного магнитного поля (до 10^{17} Гс [9]) может сделать эффект сравнимым с другими механизмами излучения. Во всяком случае, любопытно оценить величину магнитного поля, при которой этот эффект превосходит вклад URCA-процессов.

Наряду с процессом излучения $n \rightarrow n(\nu\bar{\nu})$ представляет интерес процесс частичного поглощения $\nu(\bar{\nu})n \rightarrow \nu(\bar{\nu})n$ с уменьшением энергии нейтрино за счет переворота АММ, который может влиять на время остывания нейтронной звезды. При расчетах используем лагранжиан вида [10]

$$L_{n\nu} = \frac{G}{\sqrt{2}} [\bar{\Psi}_n \Gamma^\alpha \Psi_n] [\bar{\Psi}_\nu \gamma_\alpha (1 + \gamma^5) \Psi_\nu], \quad (1)$$

$$\Gamma^\alpha = \gamma^\alpha (C_V + C_A \gamma^5),$$

где G — фермиевская постоянная, C_V и C_A — векторная и аксиально-векторная константы слабого нейтрального адронного тока нейтронов, которые равны $C_V = -0.5$, $C_A = -0.63$ (см., например, [11]).

Описываемое нейтральную дираковскую частицу обобщенное уравнение Дирака, учитывающее взаимодействие АММ с внешним постоянным и однородным электромагнитным полем с тензором $F^{\alpha\beta}$, имеет вид

$$\left(i\hat{\partial} - m - \frac{i}{2} \mu \sigma_{\alpha\beta} F^{\alpha\beta} \right) \Psi = 0, \quad (2)$$

$$\sigma_{\alpha\beta} = \frac{1}{2} (\gamma_\alpha \gamma_\beta - \gamma_\beta \gamma_\alpha).$$

В нашем случае постоянного и однородного магнитного поля, направленного по третьей оси, отличные

*E-mail: v.skobelev@inbox.ru

от нуля компоненты тензора равны $F^{21} = -F^{12} = B$ и уравнение (2) принимает вид

$$\begin{aligned} \left(i\hat{\partial} - m + i\lambda\gamma^1\gamma^2 \right) \Psi &= 0, \\ \lambda &= \mu B. \end{aligned} \quad (3)$$

Для удобства используем соотношения

$$\begin{aligned} i\gamma^1\gamma^2 &= -\gamma^5\gamma^0\gamma^3 = \frac{1}{2}\gamma^5(\gamma\varepsilon\gamma), \\ \gamma^5 &= -i\gamma^0\gamma^1\gamma^2\gamma^3, \end{aligned}$$

где $(\gamma\varepsilon\gamma) \equiv \gamma^\alpha\gamma^\beta\varepsilon_{\alpha\beta}$, $\varepsilon_{\alpha\beta}$ — абсолютно антисимметричный тензор в подпространстве $(0, 3)$ ($\varepsilon^{03} = -\varepsilon^{30} = 1$, $\varepsilon^{00} = \varepsilon^{33} = 0$). В этих обозначениях уравнение (3) принимает вид

$$\left(i\hat{\partial} - m + \frac{\lambda}{2}\gamma^5(\gamma\varepsilon\gamma) \right) \Psi = 0. \quad (4)$$

2. ПОЛЯРИЗАЦИОННАЯ МАТРИЦА ПЛОТНОСТИ НЕЙТРОНА В МАГНИТНОМ ПОЛЕ

Как известно, в практических вычислениях используется поляризационная матрица плотности ρ , определяемая соотношениями

$$\begin{aligned} \rho &= u\bar{u}, \\ \Psi &= \frac{e^{-ipx}}{\sqrt{2p_0V}} u. \end{aligned} \quad (5)$$

Из соотношений (4), (5) получаем уравнение для ρ :

$$\left(\hat{p} - m + \frac{\lambda}{2}\gamma^5(\gamma\varepsilon\gamma) \right) \rho = 0. \quad (6)$$

Решение ищем в виде

$$\rho = \left(\hat{p} + m + \frac{\lambda}{2}\gamma^5(\gamma\varepsilon\gamma) \right) \tilde{\rho}. \quad (7)$$

Подставляя выражение (7) в уравнение (6), получаем

$$(p^2 - m^2 + \lambda^2 + 2\lambda\gamma^5(\gamma\varepsilon p)) \tilde{\rho} = 0, \quad (8)$$

причем мы использовали соотношения

$$\varepsilon_{\alpha\beta}\varepsilon_{\mu\nu} = g_{\alpha\nu}g_{\mu\beta} - g_{\alpha\mu}g_{\nu\beta},$$

$$\gamma^\alpha\gamma_\mu\gamma_\alpha = 0; \quad \alpha, \mu = 0, 3; \quad (\gamma\varepsilon\gamma)^2 = 4.$$

Матрицу $\tilde{\rho}$ ищем в виде

$$\tilde{\rho} = (p^2 - m^2 + \lambda^2 - 2\lambda\gamma^5(\gamma\varepsilon p)) \rho_0. \quad (9)$$

При подстановке $\tilde{\rho}$ из (9) в уравнение (8) с учетом соотношения

$$(\gamma\varepsilon p)^2 = -p_\parallel^2 \quad (p_\parallel^2 = p_0^2 - p_3^2)$$

получаем

$$[(p^2 - m^2 + \lambda^2)^2 - 4\lambda^2 p_\parallel^2] \rho_0 = 0. \quad (10)$$

Таким образом, имеем

$$\begin{aligned} p^2 - m^2 + \lambda^2 &= 2\xi|\lambda|p_\parallel, \\ \xi &= \pm 1, \quad p_\parallel = \sqrt{p_\parallel^2}. \end{aligned} \quad (11)$$

Учитывая, что $p^2 = p_\parallel^2 - p_\perp^2$ ($p_\perp^2 = p_1^2 + p_2^2$), и решая квадратное уравнение (11) относительно p_\parallel , находим, что

$$p_\parallel = \xi|\lambda| + \sqrt{m^2 + p_\perp^2}, \quad (12)$$

а энергия равна

$$p_0 = \left\{ p_3^2 + \left[\xi|\lambda| + \sqrt{m^2 + p_\perp^2} \right]^2 \right\}^{1/2}. \quad (13)$$

В нерелятивистском случае $|\mathbf{p}|, |\lambda| \ll m$ выражение (13) принимает вид

$$p_0 = m + \frac{\mathbf{p}^2}{2m} + \xi|\lambda|. \quad (13a)$$

Значение коэффициента ρ_0 в формуле (9) выберем равным

$$\rho_0 = \frac{1}{4\xi|\lambda|p_\parallel}.$$

Комбинируя формулы (7), (9), (11), получаем окончательное выражение для поляризационной матрицы плотности:

$$\begin{aligned} \rho &= \frac{1}{2} \left[\hat{p} + m + \frac{\lambda}{2}\gamma^5(\gamma\varepsilon\gamma) \right] \times \\ &\quad \times [1 - \xi \operatorname{sign} \lambda \gamma^5 (\gamma\varepsilon\tilde{p})], \quad \tilde{p} = p/p_\parallel. \end{aligned} \quad (14)$$

При $\lambda \rightarrow 0$, как и следует, получаем матрицу плотности свободной дираковской частицы [12]:

$$\rho = \frac{1}{2} (\hat{p} + m) (1 - \gamma^5 \hat{a}).$$

Таким образом, в нашем случае псевдовектор спина равен

$$a_\alpha = \xi \operatorname{sign} \lambda \varepsilon_{\alpha\beta} \tilde{p}^\beta. \quad (15)$$

В нерелятивистском приближении $|\mathbf{p}|, |\lambda| \ll m$ выражение (14) принимает вид

$$\rho = \frac{m}{2} (1 + \gamma^0) (1 - \xi \operatorname{sign} \lambda \gamma^5 \gamma^3). \quad (16)$$

Из изложенного ясно, что значение $\xi = 1$ соответствует ориентации спина по полю, а АММ против поля ($\mu < 0$). Значение $\xi = -1$ отвечает противоположной ориентации спина и АММ.

Приведем также для справок значение «нейтронного пропагатора», определяемого как решение уравнения

$$\left[\hat{p} - m + \frac{\lambda}{2} \gamma^5 (\gamma \varepsilon \gamma) \right] S = 1.$$

Решение имеет вид

$$S = \left[\hat{p} + m + \frac{\lambda}{2} \gamma^5 (\gamma \varepsilon \gamma) \right] \times \frac{p^2 - m^2 + \lambda^2 - 2\lambda \gamma^5 (\gamma \varepsilon p)}{(p^2 - m^2 + \lambda^2)^2 - 4\lambda^2 p_{\parallel}^2}.$$

При $\lambda \rightarrow 0$ получается обычное выражение

$$S = (\hat{p} + m) / (p^2 - m^2).$$

3. ФИЗИЧЕСКИЕ ХАРАКТЕРИСТИКИ ПРОЦЕССА ИЗЛУЧЕНИЯ НЕЙТРИНО. РАСПРОСТРАНЕНИЕ НЕЙТРИНО В ЗАМАГНИЧЕННОМ НЕЙТРОННОМ ГАЗЕ

Матричный элемент процесса $n \rightarrow n(\nu\bar{\nu})$ представим в виде

$$\langle f | S | i \rangle = i \frac{(2\pi)^4 \delta(Q - q - q') M}{V^2 \sqrt{2p_0 2p'_0 2q_0 2q'_0}}, \quad (17)$$

$$M = -\frac{G}{\sqrt{2}} (\bar{u}'_n \Gamma^\alpha u_n) F_\alpha,$$

$$F_\alpha = \bar{u}_\nu \gamma_\alpha (1 + \gamma^5) u'_\nu,$$

где $Q = p - p'$, p и p' — импульсы начального и конечного нейтронов, q и q' — импульсы нейтрино.

Вероятность излучения пары $(\nu\bar{\nu})$ нейтроном в невырожденном нейтронном газе в единицу времени получается стандартными методами (массой нейтрино пренебрегаем):

$$W = \frac{1}{(2\pi)^5 2p_0} \int_{(\Gamma)} \frac{d^3 p'}{2p'_0} \int \frac{d^3 q}{2q_0} \frac{d^3 q'}{2q'_0} \times \delta(Q - q - q') |M|^2, \quad \Gamma = |\mathbf{p} - \mathbf{p}'| \leq p_0 - p'_0, \quad (18)$$

$$|M|^2 = \frac{G^2}{2} D^{\alpha\beta} H_{\alpha\beta}, \quad (19)$$

$$D^{\alpha\beta} = \text{Tr}(\rho' \Gamma^\alpha \rho \Gamma^\beta),$$

$$H_{\alpha\beta} = F_\alpha F_\beta^*.$$

Учтем, что

$$\tilde{H}_{\alpha\beta} \equiv \int \frac{d^3 q}{2q_0} \frac{d^3 q'}{2q'_0} \delta(Q - q - q') H_{\alpha\beta} = \frac{4\pi}{3} (Q_\alpha Q_\beta - Q^2 g_{\alpha\beta}), \quad (20)$$

а при вычислении $D^{\alpha\beta}$ ограничимся нерелятивистским случаем (16):

$$D^{\alpha\beta} = 2m^2 \{ g^{\alpha 0} g^{\beta 0} C_V^2 (1 + \xi \xi') + C_A^2 \left[\left(\sum_{\sigma=1,2} g^{\alpha\sigma} g^{\beta\sigma} \right) (1 - \xi \xi') + g^{\alpha 3} g^{\beta 3} (1 + \xi \xi') \right] + C_V C_A (g^{\alpha 0} g^{\beta 3} + g^{\alpha 3} g^{\beta 0}) (\xi + \xi') \text{sign } \lambda \}, \quad (21)$$

здесь мы опустили слагаемые, обращающиеся в нуль при свертке с симметричным тензором $\tilde{H}_{\alpha\beta}$. Учитывая, что $\xi = -\xi' = 1$, имеем

$$D^{\alpha\beta} \tilde{H}_{\alpha\beta} = \frac{16\pi}{3} m^2 C_A^2 Q_{\parallel}^2, \quad (22)$$

$$Q_{\parallel}^2 = Q_0^2 - Q_3^2,$$

а для вероятности получаем

$$W = \frac{G^2 C_A^2}{3(2\pi)^4} \int_{(\Gamma)} d^3 p' [(p_0 - p'_0)^2 - (p_3 - p'_3)^2]. \quad (23)$$

Интегрирование по области Γ после трансляционной замены переменных и перехода к сферическим координатам дает в нерелятивистском приближении $|\mathbf{p}|, |\lambda| \ll m$:

$$W = \frac{32 G^2 C_A^2 |\lambda|^5}{45\pi^3}. \quad (24)$$

Число пар $(\nu\bar{\nu})$, испускаемых из единицы объема в единицу времени, равное $n_+ W$ (n_+ — концентрация нейтронов со спином по полю), может быть записано в виде

$$N_\nu^{(n)} = \frac{C_A^2 (G m_p^2)^2}{45\pi^3} n_+ \lambda_C^3 |\sigma|^5 \times \left(\frac{B}{B_0} \right)^5 \left(\frac{m_e}{m_p} \right)^9 \frac{c}{\lambda_C^4}, \quad (25)$$

где m_e и λ_C — масса и комптоновская длина волны электрона, введенные для удобства, $B_0 = m_e^2/e = 4.41 \cdot 10^{13}$ Гс. Нейтринная светимость из единицы объема, $2|\lambda| N_\nu^{(n)}$, равна

$$S_\nu^{(n)} = \frac{C_A^2 (G m_p^2)^2}{45\pi^3} n_+ \lambda_C^3 |\sigma|^6 \times \left(\frac{B}{B_0} \right)^6 \left(\frac{m_e}{m_p} \right)^{10} \frac{m_e c^3}{\lambda_C^4}. \quad (26)$$

Представляет интерес найти длину пробега нейтрино (антинейтрино) при увеличении ($q_0 \rightarrow q_0 + 2|\lambda|$) или уменьшении ($q_0 \rightarrow q_0 - 2|\lambda|$) энергии q_0 за счет переворота АММ в магнитном поле в реакции $\nu(\bar{\nu})n \rightarrow \nu(\bar{\nu})n$. В том же приближении, что и ранее, можно получить следующее выражение для вероятности процесса в единицу времени:

$$W_{\mp} = \frac{4C_A^2}{3\pi} n_{\mp} G^2 (q_0 \mp 2|\lambda|)^2, \quad (27)$$

где n_{\mp} — концентрации невырожденных нейтронов со спином против поля (или по полю); в первом случае при неупругом рассеянии происходит уменьшение энергии нейтрино на $2|\lambda|$, во втором — увеличение. Очевидно, парциальные концентрации связанны с общей концентрацией n формулами статистики Ферми–Дирака:

$$\begin{aligned} n_{\mp} &= \frac{1}{(2\pi)^3} \int d^3 p \times \\ &\times \left(\exp \left(\frac{\mathbf{p}^2/2m \mp |\lambda| - \mu_{ch}}{T} \right) + 1 \right)^{-1}, \quad (28) \\ n_- + n_+ &= n, \end{aligned}$$

причем последнее соотношение в принципе определяет химический потенциал μ_{ch} как функцию $n, T, |\lambda|$.

При $q_0 \gg 2|\lambda|$, т. е. при

$$\frac{q_0}{m_e} \gg \frac{B}{B_0} \frac{m_e}{m_p}, \quad (29)$$

величина W_{\mp} выражается через вероятность W_0 упругого ($\lambda = 0$) процесса с переворотом спина нейтрона следующим образом:

$$W_{\mp} \approx W_0 = \frac{4C_A^2}{3\pi} n_{\mp} G^2 q_0^2, \quad (30)$$

причем соответствующая длина пробега l_0 равна

$$\begin{aligned} l_0 \approx W_0^{-1} &= \frac{3\pi}{4C_A^2} \left(\frac{m_e}{q_0} \right)^2 \left(\frac{m_p}{m_e} \right)^4 \times \\ &\times \frac{\lambda_C}{n_{\mp} \lambda_C^3 (G m_p^2)^2}. \quad (31) \end{aligned}$$

Соотношение (29), не имеющее впрочем принципиального значения для наших оценок, выполняется в диапазоне допустимых значений поля [9] при энергиях нейтрино несколько МэВ и более.

Перспективы возможного обобщения результатов этого раздела на случай вырожденного нейтронного газа рассмотрены в Приложении.

4. ОБСУЖДЕНИЕ

Для сравнения результата (26) со светимостью за счет URCA-процессов запишем формулу (26) в обычных единицах ($C_A \sim 1, |\sigma| \approx 2$):

$$\begin{aligned} S_{\nu}^{(n)} &\sim \rho_{12} \left(\frac{B}{B_0} \right)^6 \frac{\text{эрд}}{\text{см}^3 \cdot \text{с}}, \\ \rho_{12} &= \frac{\rho}{10^{12} \text{ г/см}^3}, \end{aligned} \quad (32)$$

где ρ — массовая плотность нейтронов (мы учли, что при $|\lambda| \ll T$ $n_+ = n_- = n/2$, n — общая концентрация нейтронов, если же это неравенство не выполняется, то для оценок можно брать $n_+ \approx n$). Аналогичный результат для светимости в URCA-процессах, приведенный в книге [1], можно записать в виде

$$S_{\nu}^{(URCA)} \sim 10^{30} \rho_{12} \left(\frac{T}{\text{МэВ}} \right)^6 \frac{\text{эрд}}{\text{см}^3 \cdot \text{с}}. \quad (33)$$

Для типичного значения температуры 30 МэВ в ядре сверхновой [13] получаем

$$S_{\nu}^{(URCA)} \sim 10^{39} \rho_{12} \frac{\text{эрд}}{\text{см}^3 \cdot \text{с}}. \quad (33a)$$

Из сравнения выражений (32) и (33a) видно, что приближенное равенство светимостей достигается при значении $B \sim 10^{6+7} B_0$, что на два–три порядка больше, чем оценки верхней границы величины магнитного поля [9]. Учет вклада модифицированных URCA-процессов [3] приводит к такому же выводу. Отметим также, что при указанных значениях температуры и поля условие нерелятивистского приближения для импульса, $|\mathbf{p}| \sim \sqrt{mT} \ll m$ выполняется с хорошей точностью, в то время как условие для поля, $|\lambda| \ll m$, не имеет места, так как на самом деле $|\lambda| \sim m$.

Таким образом, наш вывод об условиях равенства $S_{\nu}^{(n)}$ и $S_{\nu}^{(URCA)}$ основан на довольно грубых оценках, и вопрос требует более детального исследования, что не входит в задачи данной работы. Можно, однако, высказать предположение, что рассмотренный эффект мог доминировать в ранней Вселенной, когда еще не было ядер и, соответственно, части URCA-процессов, но существовали нейтроны и сверхсильные магнитные поля [14]. Отметим в связи с этим, что в некоторых работах (см., например, [15]) авторы оперируют значениями поля порядка 10^{24} Гс в ранней Вселенной. Это, однако, маловероятно, поскольку в спектре W -бозона будет присутствовать тахионная мода, что изменит саму структуру слабых взаимодействий с неясными последствиями. Подобных принципиальных ограничений нет

для значений поля $10^{6\div 7}B_0$, когда следует учитывать «наш» эффект. Впрочем, как видно из формул (32) и (33), при меньшем (чем в нейтронных звездах) значении температуры в ранней Вселенной доминирование рассмотренного эффекта возможно при более «реалистических» [14] значениях поля 10^{17} Гс или меньше.

В частности, подобным образом могла формироваться нейтринная компонента холодной материи и тогда концентрация в ней всех трех поколений нейтрино должна быть одинакова (формула (25), $C_A^{(e)} = C_A^{(\mu)} = C_A^{(\tau)}$).

Ослабление нейтринного излучения до «стерильного» значения энергии $q_0 < 2|\lambda|$ происходит в результате многократных актов ($\sim q_0/2|\lambda|$) неупругого рассеяния с поглощением энергии, если $n_- > n_+$. Как видно из формулы (28), при этом должно выполняться соотношение $|\lambda| \gtrsim T$, что имеет место при $T \approx 30$ МэВ и $B/B_0 \sim 10^4$ в ядре сверхновой. Очевидно, что соответствующая длина пробега равна

$$l \sim \frac{q_0}{2|\lambda|} l_0 = \frac{q_0}{m_e} \frac{B_0}{B} \frac{m_p}{m_e} l_0. \quad (34)$$

С учетом значения l_0 (31) имеем ($n \sim 10^{38}$ см $^{-3}$ [3], что соответствует плотности порядка ядерной):

$$l \sim \frac{m_e}{q_0} \frac{B_0}{B} 10^5 \text{ км.} \quad (35)$$

Таким образом, при упомянутых значениях q_0 и B величина $l \lesssim 10$ км и нейтрино высоких энергий практически полностью будут поглощаться в ядре [3] нейтронной звезды. По-видимому, в магнитных нейтронных звездах эффект будет доминирующим по сравнению с другими (см., например, [11]), существенно увеличивая время их остывания [3].

В этой связи стоит отметить, что излученные в процессе $n \rightarrow n(\nu\bar{\nu})$ нейтрино таким образом поглощаться не будут, так как их средняя энергия $\langle q_0 \rangle$ меньше «стерильной» границы $2|\lambda|$.

Автор выражает благодарность за техническую помощь М. В. Юсиковой и И. И. Берлину, а также Л. Б. Леинсону и В. А. Ковалеву за полезную информацию по теме статьи.

ПРИЛОЖЕНИЕ

Обсудим возможность обобщения результатов разд. 3 на случай вырожденного нейтронного газа. Предварительно найдем энергию Ферми $E_F = \mu_{ch}|_{T=0}$ и парциальные концентрации. Предпола-

гая, что $E_F > |\lambda|$ (см. ниже), из соотношений (28) находим для вырожденного газа ($T \ll E_F \pm |\lambda|$):

$$\begin{aligned} n &= \frac{1}{6\pi^2} \left(p_F^{(+)^3} + p_F^{(-)^3} \right), \\ n_{\pm} &= \frac{1}{6\pi^2} p_F^{(\pm)^3}, \end{aligned} \quad (\text{A.1})$$

где

$$p_F^{(\pm)} = [2m(E_F \mp |\lambda|)]^{1/2}$$

— соответствующий импульс Ферми.

Вводя энергию Ферми в отсутствие магнитного поля

$$E_F^{(0)} = \frac{(3\pi^2 n)^{2/3}}{2m}, \quad (\text{A.2})$$

запишем уравнения (A.1) в виде

$$\begin{aligned} \frac{1}{2}(y+x)^{3/2} + \frac{1}{2}(y-x)^{3/2} &= 1, \\ n_{\pm} &= \frac{n}{2}(y \mp x)^{3/2}, \end{aligned} \quad (\text{A.3})$$

где введены обозначения

$$y = E_F/E_F^{(0)}, \quad x = |\lambda|/E_F^{(0)}. \quad (\text{A.4})$$

Первое из уравнений (A.3) определяет в неявном виде y как функцию от x (иначе говоря, зависимость энергии Ферми от величины поля и концентрации), второе — относительные концентрации $\varepsilon_{\pm} = n_{\pm}/n$ как функции от x (т. е. от $|\lambda|$ и n):

$$\begin{aligned} \varepsilon_{\pm} &= \frac{1}{2}(y \mp x)^{3/2}, \\ \varepsilon_+ + \varepsilon_- &= 1. \end{aligned} \quad (\text{A.5})$$

Можно убедиться, что уравнение имеет решение относительно y при $0 \leq x \leq x_{max}$, где

$$x_{max} = 2^{-1/3} \approx 0.8 \quad (\text{A.6})$$

(когда $|\lambda| = E_F$), отсюда находим соответствующее значение поля:

$$\left(\frac{B}{B_0} \right)_{max} = \frac{E_F^{(0)}}{m_e} \frac{m_p}{m_e} \frac{2^{2/3}}{|\sigma|}. \quad (\text{A.7})$$

При значении $n \sim 10^{38}$ см $^{-3}$ имеем из формулы (A.2) $E_F^{(0)} \sim 10$ МэВ и $B_{max} \gtrsim 10^{18}$ Гс, что превышает допустимое значение поля в нейтронных звездах [9] и в ранней Вселенной [14]. Таким образом, наше предположение, что $E_F > |\lambda|$, выполняется с запасом.

Зависимости $y(x)$ и $\varepsilon_-(x)$, полученные численными методами, представлены на рис. 1, 2. Они в принципе решают задачу о нахождении энергии Ферми

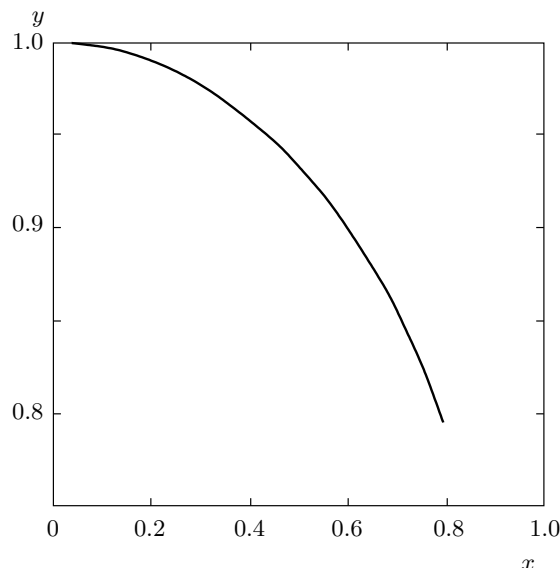


Рис. 1

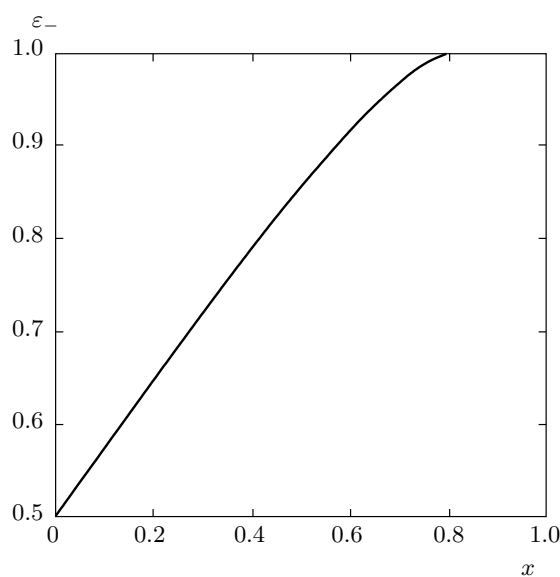


Рис. 2

и парциальных относительных концентраций вырожденного нейтронного газа в магнитном поле.

Из рис. 1 следует, что магнитное поле уменьшает энергию Ферми вплоть до минимального значения $(E_F)_{min} \approx 0.8E_F^{(0)}$, а из рис. 2 — что $n_- > n_+$ при $\lambda \neq 0$, а это в любом случае обуславливает превалирование эффекта поглощения высокоэнергетического ($q_0 > 2|\lambda|$) нейтринного излучения над эффектом его усиления в вырожденном нейтронном газе.

Точное решение проблемы излучения и поглощения вырожденным нейтронным газом с использованием результатов Приложения нами пока не получено. Предварительные оценки показывают, однако, что процесс излучения в указанном диапазоне значений поля в вырожденном нейтронном газе подавлен.

ЛИТЕРАТУРА

1. Г. С. Бисноватый-Коган, *Физические вопросы теории звездной эволюции*, Наука, Москва (1989), с. 190, 387.
2. В. В. Скobelев, ЖЭТФ **71**, 1263 (1976).
3. Д. Г. Яковлев, К. П. Левенфиш, Ю. А. Шибанов, УФН **169**, 825 (1999).
4. J. M. Lattimer, C. J. Pethick, M. Prakash, and P. Haensel, Phys. Rev. Lett. **66**, 2701 (1991).
5. L. B. Leinson and A. Perez, Phys. Lett. B **518**, 15 (2001).
6. L. B. Leinson, Phys. Lett. B **632**, 267 (2002).
7. L. B. Leinson and A. Perez, J. High Energy Phys. **09**, 020 (1998).
8. H.-Y. Chiu and E. E. Salpiter, Phys. Rev. Lett. **12**, 413 (1964).
9. R. C. Duncan and C. Thompson, Astrophys. J. **392**, L9 (1992); M. Bocquet et al., Astron. Astrophys. **301**, 757 (1995).
10. В. В. Скobelев, ЖЭТФ **93**, 1168 (1987).
11. S. Hannestad and G. Raffelt, arXiv:astro-ph/9711132v2.
12. В. Б. Берестецкий, Е. М. Лифшиц, Л. П. Питалевский, *Релятивистская квантовая теория*, ч. 1, Наука, Москва (1968), с. 129.
13. G. G. Raffelt, Phys. Rep. **198**, 1 (1990).
14. D. Lemoine, Phys. Rev. D **51**, 2677 (1995); T. Tajima et al., Astrophys. J. **390**, 309 (1992).
15. L. Campanelli and M. Gianotti, arXiv:astro-ph/0512324; L. Campanelli and M. Gianotti, arXiv:astro-ph/0611207.